

## مقایسه بیان شکل تغییر یافته BMP-7 در میزان‌های پروکاریوتی و یوکاریوتی

لیلا نعمت‌الهی<sup>۱</sup>، فریدون مهبدی<sup>۲</sup>، محمد عزیزی<sup>۳</sup>، فرزانه برخورداری<sup>۴</sup>، احمد عادلی<sup>۵</sup>، وحید خلح<sup>۶\*</sup>

- ۱- دانشجوی دکتری تخصصی، گروه بیوتکنولوژی پزشکی، مرکز تحقیقات بیوتکنولوژی، انتیتو پاستور ایران، تهران، ایران
- ۲- دانشیار، گروه بیوتکنولوژی پزشکی، مرکز تحقیقات بیوتکنولوژی، انتیتو پاستور ایران، تهران، ایران
- ۳- دکتری تخصصی، گروه بیوتکنولوژی پزشکی، مرکز تحقیقات بیوتکنولوژی، انتیتو پاستور ایران، تهران، ایران
- ۴- کارشناس، بیوتکنولوژی پزشکی، مرکز تحقیقات بیوتکنولوژی، انتیتو پاستور ایران، تهران، ایران
- ۵- استادیار، گروه بیوتکنولوژی پزشکی، مرکز تحقیقات بیوتکنولوژی، انتیتو پاستور ایران، تهران، ایران

\*آدرس نویسنده مسئول: ایران، تهران، کدپستی: ۱۳۱۶۹۴۳۵۵۱  
Email: khalajs@pasteur.ac.ir

دریافت مقاله: ۹۱/۰۶/۱۲  
پذیرش مقاله: ۹۱/۰۹/۰۸

### چکیده

هدف: BMP-7 عامل رشد چند منظوره‌ای است که اغلب به دلیل خواص استخوان‌زایی خود شناخته شده است. به دلیل قیمت بالا، دسترسی به این پروتئین برای مصارف درمانی محدود است. تاکنون تولید هترولوگ پروتئین نوترکیب BMP-7 در تعدادی از سیستم‌های بیانی انجام یافته است. در مطالعه حاضر شکل جدیدی از پروتئین نوترکیب در میزان‌های پروکاریوتی و یوکاریوتی بیان شده است.

مواد و روش‌ها: برای بیان در سیستم بیانی پروکاریوتی، پروتئین جدید به فضای پری‌پلاسمی باکتری اشريشیا کلی ترشح شد و تخلیص توسط ستون تمايلی انجام گرفت. برای بیان در سیستم بیانی یوکاریوتی، قطعه cDNA با طول کامل به سلول یوکاریوتی CHO منتقل شد و کلون‌های پایدار انتخاب شد. بیان پروتئین نوترکیب در هر دو سیستم بیانی توسط آزمون وسترن بلاست تأیید شد.

نتایج: پروتئین نوترکیب جدید به صورت دایمر با وزن مولکولی ۳۶-۳۸ کیلو Dalton در سلول یوکاریوتی و به صورت مونومر با وزن مولکولی ۱۶ کیلو Dalton در سیستم بیانی اشريشیا کلی تولید شد. تجزیه و تحلیل کمی با استفاده از الایزا نشان داد که سطح بیان جهش یافته در سیستم بیانی یوکاریوتی و پروکاریوتی به ترتیب ۴۰ و ۱۳۵ نانوگرم در هر میلی‌لیتر از محیط کشت است.

نتیجه‌گیری: در این مطالعه سطح بیان پروتئین در اشريشیا کلی حداقل ۳ برابر میزان بیان در سلول یوکاریوتی بود. با این وجود بهینه‌سازی‌های بیشتر برای بدست آوردن مولکول دایمر در اشريشیا کلی مورد نیاز است. نتایج مطالعه مذکور نشان داد که بیان پری‌پلاسمی ممکن است برای تولید پروتئین‌های پیچیده مانند BMPs مناسب باشد.

کلیدواژگان: پروتئین نوترکیب، پروتئین استخوان‌زای انسانی رده ۷، رده سلولی CHO، اشريشیا کلی  
مجله علوم پزشکی مدرس: آسیب‌شناسی زیستی، دوره ۱۵، شماره ۳، پاییز ۱۳۹۱، شماره ۱۵، پاییز ۱۳۹۱، صفحات: ۹۳-۱۰۲

### مقدمه

چند منظوره‌ای است که نقش آنان در بسیاری از جنبه‌های رشد

جنینی، شامل شکل‌گیری غضروف و استخوان و رشد

(Bone Morphogenetic Proteins) BMPs

## BMP-7 بیان فرم جهش یافته

معایب ذکر شده را بروطوف سازد [۱۳-۱۱]. ترشح پروتئین‌ها به فضای اکسید کننده پری‌پلاسم، علاوه بر تحریک شکل‌گیری باندهای دی سولفیدی و ایجاد تاخوردگی صحیح پروتئین، باعث تسهیل در امر خالص‌سازی آن نیز می‌شود [۱۵-۱۲]. در پژوهش حاضر از دو سیستم بیانی یوکاریوتی (سلول‌های CHO) و پروکاریوتی (بیان در فضای پری‌پلاسم باکتری اشريشیا کلی) برای بیان فرم جدیدی از BMP-7 استفاده شد. در فرم جدید جایگزینی پایانه آمینی ۷ BMP با ناحیه متصل شونده به هپارین (Heparin Binding Site) (BMP-2) از ۲ به منظور افزایش نیمه عمر این پروتئین و بهینه‌سازی خواص آن انجام شد که در مطالعات آینده بررسی خواهد شد. در این پژوهش کارآمدی سیستم‌های بیانی یوکاریوتی و پروکاریوتی مورد استفاده در بیان این پروتئین بحث و بررسی شده است.

## مواد و روش‌ها

### طراحی سازه ژنی

توالی ژن سنتز شده به طول تقریبی ۱۳۰۰ جفت‌باز برای انتقال به سلول یوکاریوتی (CHO DG44) شامل ۳ بخش توالی راهنمای (۲۹ اسید آمینه)، پروپروتئین (۲۶۳ اسید آمینه) و ناحیه بالغ تغییر یافته (۱۳۹ اسید آمینه) است. سازه ژنی که برای بیان در میزبان پروکاریوتی سنتز شد تنها شامل ناحیه بالغ مهندسی شده از BMP-7 با تعداد نوکلئوتید ۵۲۰ جفت‌باز (شامل جایگاه‌های برش آنزیمی به انضمam بخشی از توالی ناقل) بود. طراحی ناحیه بالغ از BMP-7 براساس تغییر پایانه آمینی این پروتئین انجام شد؛ به این ترتیب که در این ناحیه ۱۶ اسید آمینه ابتدایی پایانه آمینی ۷ BMP با ۱۶ اسید آمینه ابتدایی BMP-2 (یا ناحیه متصل شونده به هپارین) تعویض شد. این توالی‌ها توسط شرکت Gen Ray Biotech (کشور چین) ساخته شد.

### تهیه سازه بیانی

پس از ساخت توالی‌های اشاره شده بالا، سازه بیانی نهایی

استخوان‌ها به اثبات رسیده است. این پروتئین‌ها پس از تولد نیز نقش اساسی در نگهداری توده استخوانی ایفا کرده و در ترمیم شکستگی‌ها در بالغین نقش دارد [۱-۳]. تاکنون فقط (Bone Morphogenetic Protein-7) BMP-7 و BMP-2 برای استفاده بالینی مورد تأیید قرار گرفته‌اند و در بازار دارویی دنیا موجود هستند [۴-۷]. BMP-7 برای مصرف در درمان هم‌جوشی نخاعی (Spinal Fusion) و شکستگی‌های غیر یکپارچه در استخوان‌های بلند (Long Bone Nonunions) مورد تأیید سازمان غذا و دارویی آمریکا قرار گرفته است [۸-۹]. با وجود آثار بالینی مفید، نیمه عمر کوتاه آن نیاز به تجویز دوز قابل توجهی از این دارو را ایجاب می‌نماید که به علت گران بودن BMP-7، دسترسی به آن برای مصارف درمانی محدود می‌شود. بنابراین تولید این پروتئین دارویی در سیستم‌های بیانی مختلف برای بدست آوردن مقادیر کافی از آن ضروری است.

امروزه تعداد زیادی از پروتئین‌های نوترکیب دارویی در سیستم‌های یوکاریوتی تولید می‌شود که دلیل آن توانایی آن‌ها در اعمال اصلاحات پس از ترجمه (Post-translational Modifications) است. در این میان سلول CHO (Chinese Hamster Ovary) از اهمیت بالایی برخوردار است زیرا قادر به ایجاد ساختار مناسب و الگوی گلیکوزیلاروسیون صحیح در پروتئین‌های دارویی بوده و پروتئین‌های تولید شده در این رده سلولی فعالیت زیست‌شناختی مطلوبی دارد [۱۰]. با وجود تولید BMPs در فرم فعال خود در محیط کشت سلول‌های پستانداران (Mammalian Expression System) بازده تولید کم بوده و هزینه‌های آن افزایش می‌یابد. بنابراین سیستم‌های بیانی پروکاریوتی مانند اشريشیا کلی (*Escherichia coli*) نیز به عنوان جایگزین سیستم‌های یوکاریوتی برای بیان BMP به کار رفته است ولی تولید پروتئین به صورت اجسام تجمعی (Inclusion body) در سیتوپلاسم اشريشیا کلی نیازمند به کارگیری فرآیندهای تا خوردگی مجدد (Refolding) و تخلیص برای بدست آوردن پروتئین فعال دارویی است. ترشح پروتئین به فضای پری‌پلاسمی باکتری اشريشیا کلی می‌تواند

پروتئین با ستون کروماتوگرافی تمايلی Ni-NTA و روش بومی (Native) و طبق دستورالعمل شرکت سازنده (QIAGEN، آمریکا) انجام گرفت. به طور خلاصه پس از معادل‌سازی ستون با بافر لیز کننده، عصاره پری‌پلاسم دیالیز شده به ستون وارد و پس از شستشوی ستون، پروتئین نوترکیب با استفاده از بافر جداسازی از ستون جدا شد.

## بیان پایدار و تخلیص پروتئین در سلول CHO DG44

پس از تعیین حساسیت سلول یوکاریوتی به آنتی‌بیوتیک زئوцин (Zeocin) (Invitrogen، آمریکا) (۴۰۰ میکروگرم در میلی‌لیتر)، ناقل بیانی حاوی سازه ژنی نهایی با استفاده از آنزیم محدودالاثر *Bg*/II خطی شده و با کمک روش لیپوفکشن (Lipofection) و با استفاده از لیپوفکتامین (Lipofectamine 2000، GIBCO Invitrogen) (Lipofectamine 2000) طبق برنامه شرکت سازنده به سلول CHO منتقل شد. پس از گذشت ۲۴ ساعت از انجام ترانسفکشن (Transfection)، سلول‌ها به محیط انتخابی حاوی آنتی‌بیوتیک زئوцин منتقل شد و طی انتخاب‌های مکرر و اضافه کردن آنتی‌بیوتیک با فاصله زمانی ۳ تا ۴ روز، کلون‌ها با ویژگی بیان مناسب و پایدار ژن انتخاب شد. پس از این مرحله، سلول‌های ترانسفکت شده در محیط کشت اختصاصی که فاقد سرم بود کشت داده شد. وجود پروتئین ترشحی در محیط کشت ۶ روزه جمع‌آوری شده از سلول‌های ترانسفکت شده در ابتدا با روش الایزا (Enzyme-Linked Immunosorbent Assay: ELISA) تأیید شد. سوب‌های ترشحی توسط ستون تمايلی Hi-Trap (GE Healthcare) و طبق برنامه شرکت سازنده تخلیص شد.

## تجزیه و تحلیل کمی پروتئین (آزمون ELISA)

در ابتدا بیان پروتئین در هر دو سیستم یوکاریوتی و پروکاریوتی با روش ELISA کنترل شد. همچنین میزان

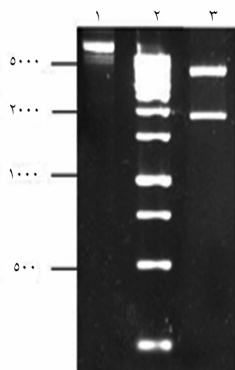
برای انتقال به سلول CHO به شرح زیر تهیه شد. ابتدا توالی ستر شده توسط آنزیم‌های محدودالاثر *Not*I و *Kpn*I و از پلاسمید حد واسط بریده شد و در جایگاه کلون‌سازی چندگانه (Multiple Cloning Site) (pTracer-SV40) ناقل بیانی pTracer-SV40 کلون شد. پلاسمید نوترکیب حاصل با هضم آنزیمی و تعیین توالی تأیید شد. برای هضم آنزیمی از آنزیم‌های *Pst*I/*Not*I استفاده شد. در مورد سازه بیانی نهایی برای انتقال به باکتری اشريشيا کلى نيز ژن ستر شده توسط آنزیم‌های محدودالاثر *Eco*RI و *Nde*I از پلاسمید حد واسط جدا شد و در ناقل بیانی PET22b کلون شد. پلاسمید نوترکیب حاصل نيز از طریق هضم آنزیمی که در آن از آنزیم‌های محدودالاثر *Nde*I/*Eco*RV استفاده شد تأیید شد.

## بیان پری‌پلاسمی و خالص‌سازی پروتئین در باکتری اشريشيا کلى

پلاسمید بیانی حاصل به میزبان سویه (BL21(DE3)، Novagen، آمریکا) منتقل شد. باکتری‌هایی ترانسفورم شده در محیط LB (Luria Bertani) Transform که شامل آنتی‌بیوتیک آمپیسیلین (Ampicillin) بود در ۳۷ درجه سانتی‌گراد انکوبه شدند تا زمانی که کدورت محیط در طول موج ۶۰۰ نانومتر به حدود ۰/۵ رسید. در این مرحله القا با اضافه کردن ایزوپروپیل بتا-دی-تیوگالاكتوپیرانوزید (Isopropyl β-D-1-thiogalactopyranoside: IPTG) ۱ میلی‌مolar صورت گرفت. سه نمونه از سلول‌ها در زمان‌های ۰ و ۲ و ۴ ساعت پس از القا توسط سانتریفیوژ جمع‌آوری شدند. یک قسمت از کشت نیز بدون اضافه کردن IPTG به عنوان نمونه قبل از القا و کنترل منفی به کار رفت. نمونه‌های جمع‌آوری شده در ژل پلی آکریل آمید ۱۵ درصد الکتروفورز شد و پس از تأیید اولیه بیان، شوک اسموتیک، طبق برنامه مرسوم انجام گرفت [۱۶]. پس از انجام شوک اسموتیک عصاره حاوی پروتئین‌های پری‌پلاسمی به منظور آماده‌سازی برای انجام فرایند تخلیص در مقابل بافر لیز کننده دیالیز شد. تخلیص مجله علوم پزشکی مدرس: آسیب‌شناسی زیستی، دوره ۱۵، شماره ۳، پاییز ۱۳۹۱ ۹۶

## BMP-7 فرم جهش یافته

برنامه‌های معمول انجام شد [۱۷]. برای انجام آزمون وسترن بلاط روی پروتئین به دست آمده از سلول یوکاریوتی از آنتی‌بادی اولیه پلی‌کلونال (Polyclonal) خرگوشی ضد BMP-7 شرکت Abcam (آمریکا) و آنتی‌بادی ثانویه اتصال یافته به آنزیم پراکسیداز (Peroxidase) ضد خرگوشی شرکت رازی (ایران) استفاده شد. نمونه به دست آمده از بیان پری‌پلاسمی با استفاده از آنتی‌بادی ضد توالی هیستیدین متصل شده به آنزیم پراکسیداز شرکت Roche (آلمان) تأیید شد. در هر دو مورد از سیستم شناسایی کمی لومینسانس (Luminescence) برای ظهور باندهای حاصل استفاده شد.



شکل ۲ نتایج حاصل از هضم آنزیمی روی پلاسمید نوترکیب نهایی برای انتقال به باکتری اشريشیا کلی؛ ردیف (۱) پلاسمید هضم نشده، ردیف (۲) نشانگر DNA (۱ کیلو بازی)، ردیف (۳) محصول هضم آنزیمی با آنزیم‌های NotI/EcoRV که شامل قطعات ۴۰۹۵ و ۱۸۲۰ جفت‌باز و ۴۹۰۰ جفت‌باز است.

هضم آنزیمی با آنزیم‌های NotI/EcoRV باعث ایجاد قطعات با اندازه ۴۰۹۵ جفت‌باز و ۱۸۲۰ جفت‌باز شد (شکل ۲). نتایج مذکور اندازه‌های محاسبه شده به صورت تئوری و به دست آمده از نرم افزارها را تأیید کرد.

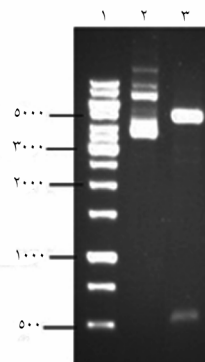
## تجزیه و تحلیل بیان

پروتئین تخلیص شده حاصل از سلول‌های ترانسفکت شده یوکاریوتی پس از انجام الکتروفورز در ژل ۱۵ درصد باند

دقیق پروتئین ترشحی در سوب سلول‌های ترانسفکت شده CHO و همچنین در بخش تخلیص شده پری‌پلاسمی حاصل از باکتری اشريشیا کلی با روش ELISA و با استفاده از کیت Ray Biotech Human BMP-7 ELISA Kit (آمریکا) به دست آمد.

## وسترن بلاط (Western Blot)

پروتئین‌های تخلیص شده به دست آمده از هر دو سیستم بیانی یوکاریوتی و پروکاریوتی پس از تغليظ، در ژل پلی‌آکریل آمید ۱۵ درصد الکتروفورز شد. ادامه مراحل وسترن بلاط طبق



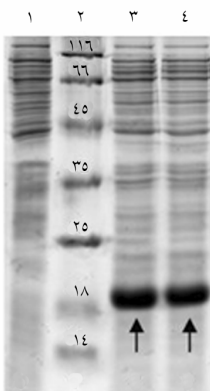
شکل ۱ نتایج حاصل از هضم آنزیمی روی پلاسمید نوترکیب نهایی برای انتقال به سلول CHO: ردیف (۱) نشانگر DNA (۱ کیلو بازی)، ردیف (۲) پلاسمید هضم نشده، ردیف (۳) محصول هضم آنزیمی با آنزیم‌های PstI/NotI که شامل قطعات ۵۶۱ و ۴۹۰۰ جفت‌باز است.

## نتایج

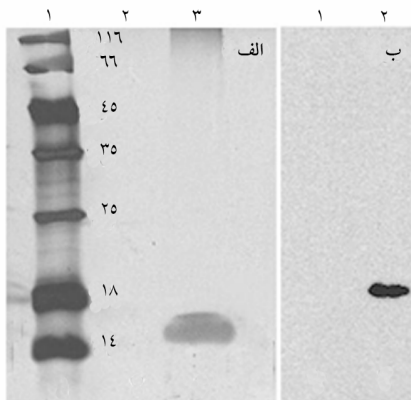
### ساخت ناقل بیانی

پس از انجام فرایند کلونینگ و ساخت ناقل بیانی برای انتقال به سلول CHO DG44، هضم آنزیمی با آنزیم‌های PstI/NotI باعث ایجاد قطعات با اندازه ۵۶۱ جفت‌باز و ۴۹۰۰ جفت‌باز شد (شکل ۱).

در مورد پلاسمید نوترکیب تولیدی برای انتقال به اشريشیا کلی نیز پس از کلونینگ قطعه ژنی سترز شده داخل ناقل PET22b



شکل ۴ بررسی بیان پروتئین در زمان‌های مختلف پس از القا در باکتری اشريشیا کلی؛ ردیف ۱) نمونه قبل از القا، ردیف ۲) نشانگر اندازه پروتئین، ردیف‌های ۳ و ۴) به ترتیب نمونه‌های ۲ و ۴ ساعت بعد از القا (باند مربوط به پروتئین پردازش نشده با وزن مولکولی تقریبی ۱۸ کیلوdalton با پیکان مشخص شده است).

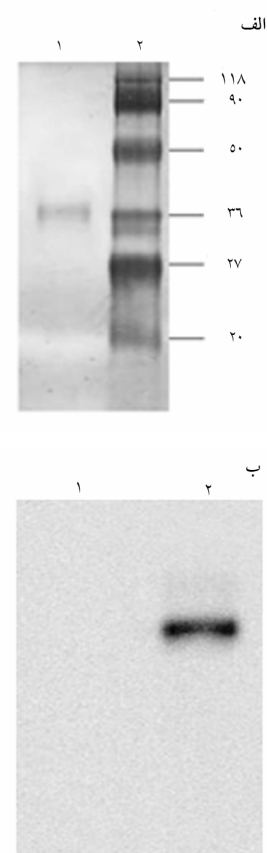


شکل ۵ تجزیه و تحلیل بیان پروتئین تولیدی در باکتری اشريشیا کلی؛ (الف) تجزیه و تحلیل SDS-PAGE پروتئین با رنگ‌آمیزی نیترات نقره؛ ردیف ۱) نشانگر اندازه پروتئین، ردیف ۲) نمونه القا نشده (کنترل منفی)، ردیف ۳) پروتئین تخلیص شده در حالت مونومر با وزن مولکولی تقریبی ۱۶ کیلوdalton؛ (ب) وسترن بلاط پروتئین تخلیص شده از سیستم پروکاریوی؛ ردیف ۱) نمونه القا نشده (کنترل منفی)، ردیف ۲) پروتئین تخلیص شده با وزن مولکولی تقریبی ۱۶ کیلوdalton

### اندازه‌گیری میزان بیان به کمک آزمون ELISA

میزان بیان در سوپ ۶ روزه جمع‌آوری شده از سلول‌های ترانسفکت شده CHO DG44، ۴۰ نانوگرم در میلی‌لیتر است.

مربوط به پروتئین دایمر، با وزن مولکولی تقریبی ۳۶-۳۸ کیلوdalton را نشان داد. نتایج حاصل از SDS-PAGE با انجام وسترن بلاط تأیید شد (شکل ۳ الف و ب). شکل ۴ نتایج حاصل از الکتروفورز نمونه‌های ۲ ساعته و ۴ ساعته پس از القای بیان در اشريشیا کلی را در ژل پلی آکریل آمید ۱۵ درصد نشان می‌دهد. همچنین پروتئین بالغ (پردازش شده) نهایی در بیان پری‌پلاسمی با وزن مولکولی ۱۶ کیلوdalton، پس از خالص‌سازی و انجام الکتروفورز در ژل ۱۵ درصد از طریق وسترن بلاط تأیید شد (شکل ۵ الف و ب).



شکل ۳ تجزیه و تحلیل بیان پروتئین تولیدی در سیستم بیانی CHO cells؛ (الف) تجزیه و تحلیل SDS-PAGE پروتئین با رنگ‌آمیزی نیترات نقره؛ ردیف ۱) پروتئین تخلیص شده در حالت دایمر، با وزن مولکولی تقریبی ۳۶-۳۸ کیلوdalton، ردیف ۲) نشانگر اندازه پروتئین؛ (ب) وسترن بلاط پروتئین تخلیص شده از سیستم یوکاریوی؛ ردیف ۱) کنترل منفی شامل سوپ ترشحی سلول‌های ترانسفکت نشده، ردیف ۲) پروتئین تخلیص شده دایمر با وزن مولکولی تقریبی ۳۶-۳۸ کیلوdalton

یوکاریوتی نظری CHO و COS مشکل است [۲۳-۲۵]. به دلیل مزایای سیستم‌های بیانی پروکاریوتی که در مقدمه به آن اشاره شد، این پروژه با هدف طراحی یک سیستم جدید برای اولین بار برای بیان پروتئین مهندسی شده در فضای پری‌پلاسمی اشریشیا کلی انجام شد. به این منظور از ناقل بیانی PET22b که دارای توالی پپتید نشانه pelB برای ترشح پروتئین به فضای پری‌پلاسم و توالی شش‌تایی هیستیدین (Histidin tag) برای تسهیل در امر خالص‌سازی است، استفاده شد. اشاره شده است که فضای پری‌پلاسمی باعث جدایی پروتئین‌های سیتوزولی از پروتئین ترشحی نوترکیب می‌شود و به دلیل ترشح مقادیر کم از پروتئین نوترکیب محلول، این سیستم می‌تواند باعث تسهیل در امر خالص‌سازی شود [۱۱-۱۴]. در مطالعه حاضر پس از آزاد شدن پروتئین‌های فضای پری‌پلاسمی با کمک شوک اسموتیک، پروتئین نوترکیب حاصل با کمک ستون تمایلی Ni-NTA و در یک مرحله تخلیص شد. نتایج SDS-PAGE و وسترن بلاط وجود پروتئین بالغ (پردازش شده) با وزن مولکولی ۱۶ کیلو Dalton را در بخش پری‌پلاسمی نشان داد. میزان پروتئین بیان شده در ۴ و ۲ ساعت بعد از القا، تفاوت قابل ملاحظه‌ای را نشان نمی‌دهد. همچنین بررسی و مقایسه الگوی پروتئین سیتوپلاسمی و پری‌پلاسمی، نشانگر انتقال کامل پروتئین بالغ (پردازش شده) به فضای پری‌پلاسمی است. اندازه‌گیری میزان پروتئین بیان شده، نشان می‌دهد که این میزان ۱۳۵ نانوگرم در هر میلی‌لیتر از محیط کشت است که حداقل ۳ برابر بیشتر از میزان بیان پروتئین مذکور در سلول CHO (۴۰ نانوگرم در میلی‌لیتر) است. نتایج مذکور منطبق با مطالعاتی است که نشان می‌داد بیان در سیستم‌های پروکاریوتی از بازده بیشتری نسبت به سیستم بیانی یوکاریوتی برخوردار است [۲۶]. البته تولید پروتئین مونومر در فضای پری‌پلاسمی تأیید کننده فرضیه دخالت پروپروتئین در ایجاد فرم دایمر است زیرا فقط سازه ژنی محتوى ناحیه بالغ در اشریشیا کلی بیان شد. انتقال پیش‌ساز BMPs به سیستم‌های یوکاریوتی به علت

میزان بیان پروتئین در سیستم اشریشیا کلی به صورت پری‌پلاسمی ۱۳۵ نانوگرم در میلی‌لیتر تعیین شد.

## بحث

BMPs پروتئین‌های با خاصیت تحریک استخوان‌زایی است که برای درمان شکستگی‌های شدید به کار می‌رود [۱۸]. استراتژی‌های مختلفی برای تولید این پروتئین‌ها به میزان زیاد و کارآیی بیشتر در میزان‌های مختلف یوکاریوتی و پروکاریوتی به کار برده شده است. در این پژوهش شکل تغییر یافته جدیدی از BMP-7 در دو میزان یوکاریوتی و پروکاریوتی بیان شد. خصوصیات پروتئین تولیدی در این سیستم‌ها و همچنین بازده بیان بررسی و مقایسه شد. در این پژوهه از میزان یوکاریوتی CHO DG44 cells، به علت توانایی آن در تولید پروتئین با فعالیت مناسب و تاخوردگی صحیح و ایجاد الگوی گلیکوزیل‌اسیون مطلوب استفاده شد [۱۰]. اثبات شده است که BMPs قبل از ترشح شامل ۳ بخش توالی راهنمای، پروپروتئین و ناحیه بالغ است که پس از برش پروتولیتیکی، ناحیه بالغ که گلیکوزیله و شامل ۲ مونومر است رها می‌شود [۲۰، ۱۹]. به نظر می‌رسد که پروپروتئین در ایجاد تاخوردگی مناسب و ترشح BMPs به حالت دایمر و فعال نقش دارد [۲۱، ۲۲]. با انتقال قطعه cDNA با طول کامل به سلول‌های یوکاریوتی (CHO) به علت حضور پروپروتئین در بالا دست ژن مهندسی شده، فرم دایمر ایجاد شد که باند مربوط ۳۶-۳۸ کیلو Dalton توسط SDS-PAGE و وسترن بلاط تأیید شد. شایان ذکر است پروتئین دایمر مذکور فعالیت زیست‌شناختی قابل مقایسه با نمونه استاندارد را از خود نشان داد (اطلاعات مربوط نشان داده نشده است). میزان پروتئین ترشحی در سوپ سلول‌های ترانسفکت شده ۴۰ نانوگرم در میلی‌لیتر است که نشان دهنده بازده پایین بیان با وجود تولید فرم فعال و دایمر پروتئین نوترکیب در سلول CHO است. نتایج حاصل منطبق با مطالعاتی است که نشان می‌داد به دست آوردن مقادیر بالای بیان با استفاده از روش‌های استاندارد در سیستم‌های بیانی

از آنجایی که در بازده پردازش در پری‌پلاسم و تولید پروتئین کامل پردازش شده عوامل مختلف مانند شرایط القا، رشد، میزان بیان، سویه میزان و نوع پیتید نشانه نقش دارد [۲۷]. انتظار می‌رود که با وجود تولید پروتئین به فرم مونومر در این سیستم، با بهینه‌سازی هر یک از عوامل فوق بتوان به تولید پروتئین بالغ و پردازش شده در حالت دایمر دست یافت. با توجه به نتایج بدست آمده در این دو سیستم بیانی، امید است در آینده علاوه بر بهینه‌سازی بیان در این سیستم‌ها، با انجام آزمون‌های تکمیلی، جهش یافته پیشنهادی با نمونه دارویی مقایسه شود و فرضیه تولید داروی جدید از نسل دوم BMPs با کارآیی بهتر و عوارض جانبی کمتر اثبات شود.

## تشکر و قدردانی

این تحقیق با حمایت مالی انتستیتو پاستور ایران انجام شده است.

برش پروتولیتیکی توسط آنزیم فورین (Furin) در جایگاه‌های آنزیمی چندگانه داخل پروپروتئین، باعث ایجاد مخلوط ناهمگنی از پروتئین‌های مذکور می‌شود [۲۰]. یافته‌های پژوهش یاد شده نیز ناهمگنی (Heterogeneity) بیان که منطبق با مطالعات قبلی است را تأیید می‌کند، در حالی که در سیستم پروکاریوتی مورد استفاده در پژوهش حاضر، ناهمگنی در پایانه آمینی پروتئین به دلیل بیان ناحیه بالغ محدود شده و مخلوط یکنواختی از پروتئین بالغ پردازش شده تولید شده است. با این‌که آزمون فعالیت زیست‌شناختی در مورد مونومر تولیدی در اشریشیاکلی انجام نشد، اما با توجه به مطالعات قبلی که نشان می‌داد hBMP-7 فقط در حالت هومودایمر یا هترودایمر دارای فعالیت زیست‌شناختی است [۲۴]، می‌توان پیش‌بینی نمود که فعالیت زیست‌شناختی پروتئین مذکور منوط به انجام مراحل بعدی برای شکل‌گیری فرم دایمر پروتئین است.

## منابع

- [1] Xiao YT, Xiang LX, Shao JZ. Bone morphogenetic protein. *Biochem Biophys Res Commun* 2007; 362(3): 550-3.
- [2] Dimitriou R, Giannoudis PV. Discovery and development of BMPs. *Injury* 2005; 36(Suppl 3): S28-33.
- [3] Gazzero E, Minetti C. Potential drug targets within bone morphogenetic protein signaling pathways. *Curr Opin Pharmacol* 2007; 7(3): 325-33.
- [4] Gautschi OP, Frey SP, Zellweger R. Bone morphogenetic proteins in clinical applications. *ANZ J Surg* 2007; 77(8): 626-31.
- [5] De Biase P, Capanna R. Clinical applications of BMPs. *Injury* 2005; 36(Suppl 3): S43-6.
- [6] Dinopoulos H, Giannoudis PV. (iv) The use of bone morphogenetic proteins (BMPs) in long-
- bone non-unions. *Curr Orthopaed* 2007; 21(4): 268-79.
- [7] Jeong GK, Sandhu HS, Farmer J. Bone morphogenic proteins: applications in spinal surgery. *HSS J* 2005; 1(1): 110-7.
- [8] Granjeiro JM, Oliveira RC, Bustos-Valenzuela JC, Sogayar MC, Taga R. Bone morphogenetic proteins: from structure to clinical use. *Braz J Med Biol Res* 2005; 38(10): 1463-73.
- [9] Carlisle E, Fischgrund JS. Bone morphogenetic proteins for spinal fusion. *Spine J* 2005; 5(Suppl 6): S240-9.
- [10] Jayapal KP, Wlaschin KF, Hu W, Yap MGS. Recombinant protein therapeutics from CHO cells-20 years and counting. *Chem Eng Prog* 2007; 103(10): 40.
- [11] Robbens J, De Coen W, Fiers W, Remaut E.

- Improved periplasmic production of biologically active murine interleukin-2 in *Escherichia coli* through a single amino acid change at the cleavage site. Process Biochem 2006; 41(6): 1343-6.
- [12] Soares CRJ, Gomide FIC, Ueda EKM, Bartolini P. Periplasmic expression of human growth hormone via plasmid vectors containing the  $\lambda$ P<sub>L</sub> promoter: use of HPLC for product. Protein Eng 2003; 16(12): 1131-8.
- [13] Balderas Hernández VE, Paz Maldonado LM, Medina Rivero E, Barba de la Rosa AP, Jiménez-Bremont JF, Ordoñez Acevedo LG, De León Rodríguez A. Periplasmic expression and recovery of human interferon gamma in *Escherichia coli*. Protein Expr Purif 2008; 59(1): 169-74.
- [14] Ambrus A, Torocsik B, Adam-Vizi V. Periplasmic cold expression and one-step purification of human dihydrolipoamide dehydrogenase. Protein Expr Purif 2009; 63(1): 50-7.
- [15] Rastgar Jazii F, Karkhane AA, Yakhchali B, Fatemi SS, Deezagi A. A simplified purification procedure for recombinant human granulocyte macrophage-colony stimulating factor from periplasmic space of *Escherichia coli*. J Chromatogr B Analyt Technol Biomed Life Sci 2007; 856(1-2): 214-21.
- [16] Nossal NG, Heppel LA. The release of enzymes by osmotic shock from *Escherichia coli* in exponential phase. J Biol Chem 1966; 241(13): 3055-62.
- [17] Coligan JE, Dunn BM, Speicher DW, Wingfield PT. Short protocol in protein science: a compendium of methods from current protocols in protein science. New York: John Wiley and Sons, 2003; p: 43-7.
- [18] Calori GM, Donati D, Di Bella C, Tagliabue L. Bone morphogenetic proteins and tissue engineering: future directions. Injury 2009; 40(Suppl 3): S67-76.
- [19] Di Liddo R, Grandi C, Venturini M, Dalzoppo D, Negro A, Conconi MT, Parnigotto PP. Recombinant human TAT-OP1 to enhance NGF neurogenic potential: preliminary studies on PC12 cells. Protein Eng Des Sel 2010; 23(11): 889-97.
- [20] Swencki-Underwood B, Mills JK, Vennarini J, Boakye K, Luo J, Pomerantz S, Cunningham MR, Farrell FX, Naso MF, Amegadzie B. Expression and characterization of a human BMP-7 variant with improved biochemical properties. Protein Expr Purif 2008; 57(2): 312-9.
- [21] Israel DI, Nove J, Kerns KM, Moutsatsos IK, Kaufman RJ. Expression and characterization of bone morphogenetic protein-2 in Chinese hamster ovary cells. Growth Factors 1992; 7(2): 139-50.
- [22] Sampath TK, Maliakal JC, Hauschka PV, Jones WK, Sasak H, Tucker RF, White KH, Coughlin JE, Tucker MM, Pang RH. Recombinant human osteogenic protein-1 (hOP-1) induces new bone formation in vivo with a specific activity comparable with natural bovine osteogenic protein and stimulates osteoblast proliferation and differentiation in vitro. J Biol Chem 1992; 267(28): 20352-62.
- [23] Kim CK, Oh SD, Rhee JI, Lee EM, Yoon TR. Expression and purification of recombinant human bone morphogenetic protein-7 (rhBMP-7) in *Bacillus subtilis*. Biotechnol Bioprocess Eng 2010; 15(5): 830-6.

- [24] Chen L, Huang YD, Zhang YD. Expression and secretion of human bone morphogenetic protein-7 in *Pichia pastoris*. *Sheng Wu Gong Cheng Xue Bao* 2006; 22(6): 907-13.
- [25] Wozney JM, Rosen V, Celeste AJ, Mitsock LM, Whitters MJ, Kriz RW, Hewick RM, Wang EA. Novel regulators of bone formation: molecular clones and activities. *Science* 1988; 242(4885): 1528-34.
- [26] Swartz JR. Advances in *Escherichia coli* production of therapeutic proteins. *Curr Opin Biotechnol* 2001; 12(2): 195-201.
- [27] Kiany J, Zomorodipour A, Ahmadzadeh Raji M, Sanati MH. Construction of recombinant plasmids for periplasmic expression of human growth hormone in *Escherichia coli* under T7 and lac promoters. *J Sci I R Iran* 2003; 14(4): 311-6.